

положений, сделанных в контексте приближения эффективной массы. В Si и Ge вместо изотропного параболического минимума находим ряд эквивалентных минимумов, центрированных вокруг \mathbf{k} -векторов звезды в зоне Бриллюэна. Энергетические поверхности вблизи

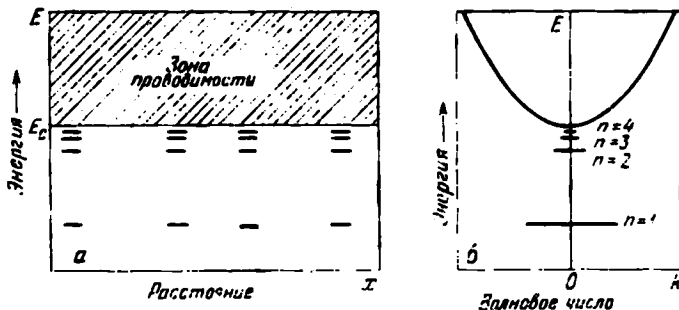


Рис. 18. Примесные уровни в зонной модели: а — на диаграмме энергия — пространственная координата локализованные примесные уровни лежат под делокализованными состояниями зоны проводимости; б — на E — k -диаграмме локализованные примесные уровни лежат под минимумом зоны проводимости (предполагаем здесь изотропным и параболическим). Ширина примесных уровней дает меру протяженности состояния в k -пространстве, согласно (2.14).

этих минимумов являются эллипсоидами вращения, которые определяются двумя эффективными массами:

$$E = E_C + \frac{\mathbf{k}^2}{2} \left(\frac{k_i^2}{m_i} + \frac{k_j^2 + k_k^2}{m_t} \right). \quad (2.15)$$

Здесь m_i — продольная, а m_t — поперечная массы (обратная кривизна параллельно и перпендикулярно большой оси этих эллипсоидов). k_i, k_j, k_k — компоненты \mathbf{k} в подходящим образом ориентированной системе декартовых координат с центром на соответствующем \mathbf{k} -векторе данного минимума \mathbf{k}_c . Мы трактуем эту аналогию, составляя уравнение эффективной массы (2.11) для каждого экстремума и записывая оператор кинетической энергии в виде

$$-\frac{\mathbf{k}^2}{2m_i} \frac{\partial^2}{\partial x_i^2} - \frac{\mathbf{k}^2}{2m_t} \left(\frac{\partial^2}{\partial x_j^2} + \frac{\partial^2}{\partial x_k^2} \right). \quad (2.16)$$

Вследствие эллиптической формы энергетических поверхностей появляется выделенное направление. Собственные значения уравнения Шредингера (2.11), которые были вырожденными в изотропном случае, тогда расщепляются. Расщепившиеся уровни классифицируются дополнительным квантовым числом m , которое соответствует магнитному квантовому числу в случае свободного атома. Появляются, следовательно, отклонения от кулоновского спектра.